

Б. 91

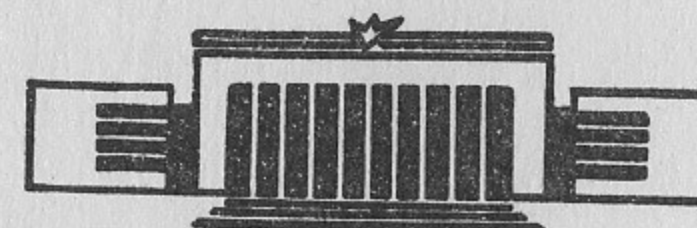
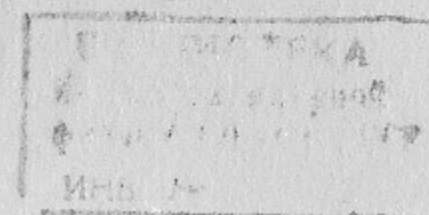
24

ИНСТИТУТ ЯДЕРНОЙ ФИЗИКИ  
СО АН СССР

А.В.Буров, Я.С.Дербенёв

КОЛЛЕКТИВНЫЕ НЕУСТОЙЧИВОСТИ  
ПУЧКА ЭЛЕКТРОНОВ В ОНДУЛЯТОРЕ

ПРЕПРИНТ 81 - 33



Новосибирск

КОЛЛЕКТИВНЫЕ НЕУСТОЙЧИВОСТИ ПУЧКА  
ЭЛЕКТРОНОВ В ОНДУЛЯТОРЕ

А.В.Буров, Я.С.Дербенёв

А Н Н О Т А Ц И Я

Для реализации предложенного ранее метода охлаждения пучков заряженных частиц — когерентного электронного охлаждения — необходимо создать в охлаждающем электронном пучке ту или иную мелкомасштабную неустойчивость, посредством которой будет усиливаться отклик электронной среды на поле частицы. Три типа таких неустойчивостей могут быть получены в широком диапазоне условий, если на продольное магнитное поле, сопровождающее электронный пучок, накладывается малое поперечное винтовое поле.

Появление данной работы вызвано поиском способов совершенствования метода электронного охлаждения пучков тяжелых заряженных частиц [1,2]. Возможность использования коллективных неустойчивостей электронного пучка для многократного усиления отклика на возмущение со стороны тяжелой частицы, т.е. для увеличения эффекта трения, уже обсуждалась в работе [3]. Для реализации этого способа необходимо детальное изучение свойств неравновесного движения электронного пучка вблизи той или иной неустойчивости, которая может быть выбрана в качестве рабочей. Неустойчивость, в частности, может быть создана наложением поперечного осциллирующего магнитного поля (ондулятора) на продольное, сопровождающее электронный пучок. Ниже в рамках линейного приближения исследуются три вида неустойчивостей, существующие в такой системе: циклотронная, отрицательной продольной массы и радиационная (последняя связана с генерацией когерентного излучения в системах, получивших название лазеров на свободных электронах, или ЛСЭ [4,5]).

#### 1. Траектории электронов в магнитном поле

В целях простоты рассмотрения поле ондулятора будем считать спиральным

$$\mathcal{H}_x = H_0 \cos \alpha z ; \quad \mathcal{H}_y = -H_0 \sin \alpha z ; \quad \mathcal{H}_z = B \quad (1)$$

Здесь и далее  $x, y$  - поперечные,  $z$  - продольная координаты. В этом разделе рассматривается движение одной частицы в таком поле. Принята система единиц  $e = 1, m = 1, c = 1$ , где  $e$  - заряд электрона,  $m$  - масса,  $c$  - скорость света. Уравнения движения электрона во внешнем поле  $\gamma \frac{d\vec{v}}{dt} = [\vec{v} \nabla \mathcal{H}]$ , где  $\vec{v}$  - скорость,  $\gamma$  - энергия (интеграл движения), имеют частное решение:

$$\begin{aligned} \dot{z} &= v_{||} - \text{const} & \theta_0 &= \frac{H_0}{B - \alpha \gamma v_{||}} \end{aligned} \quad (2)$$

$$\begin{aligned} \dot{x} &= \theta_0 v_{||} \cos \alpha z \\ \dot{y} &= -\theta_0 v_{||} \sin \alpha z \end{aligned}$$

Условие  $\dot{x}^2 + \dot{y}^2 + \dot{z}^2 = v^2$  определяет  $v_{||}(v)$ . Легко видеть,

что поле (1) не удовлетворяет условию  $\text{rot } \mathcal{H} = 0$ , т.е. оно не может сохранять такой вид для любых  $x, y$ . Однако, если  $x \ll a$ ,  $ya \ll 1$ , где  $a$  - радиус поперечного вращения, а - расстояние его центра до оси, этим эффектом можно пренебречь.

Поперечную скорость считаем малой по сравнению с продольной, т.е.  $x \ll 1$ .

Тогда 
$$V_{||} = v - \frac{\theta^2}{2} v \quad (3)$$

Эффективная продольная масса

$$\frac{1}{\mu_{||}} = \frac{d\sigma_{||}}{d\rho_{||}} = \frac{1}{\gamma^3} \frac{d\sigma_{||}}{dv} = \gamma^2 \frac{\varepsilon(\varepsilon - B' u_0^2)}{\lambda^2}$$

Здесь  $u_0$  - поперечная скорость электрона в системе отсчета, где он в среднем покоится,

$$\gamma_{\perp} = (1 - u_0^2)^{-1/2}; \quad \gamma_{||} = (1 - v_{||}^2)^{-1/2};$$

$$B' = \frac{B}{\gamma_{\perp}}; \quad \omega_0 = \gamma_{||} \omega; \quad \varepsilon = B' - \omega_0$$

$$\lambda^2 = \varepsilon^2 + B'^2 \theta^2$$

Видно, что знак эффективной массы зависит от выбора параметров.

Траектории (2) устойчивы только при  $\lambda^2 > 0$  (4)

## 2. Гидродинамические уравнения движения пучка

Задачу о движении в ондуляторе пучка взаимодействующих электронов будем решать, пренебрегая тепловым разбросом скоростей частиц. Условия этого пренебрежения сформулированы ниже. Отсутствие теплового разброса дает возможность перейти от кинетического к гидродинамическому способу описания движения частиц. Здесь и далее будем оставаться в сопутствующей системе отсчета, связанной с центром инерции электронного пучка. Исходя из кинетического уравнения, стандартным методом получим уравнение неразрывности и гидродинамические уравнения движения для малых отклонений плотности и скорости частиц от равновесных значений, отвечающих траекториям (2). Пучок всюду считаем

безграничным и однородным; применимость такого приближения ограничивается ниже.

$$\frac{\partial \rho}{\partial t} + (\bar{v}_0 \bar{v}) \rho + \bar{v} \bar{u} = 0 \quad (6)$$

$$\frac{\partial \bar{\pi}}{\partial t} + (\bar{v}_0 \bar{v}) \bar{\pi} + (\bar{\pi} \bar{v}) \bar{v} + [\bar{B}_0 \bar{u}] = \bar{F}$$

Здесь  $\bar{\pi} = \bar{p} - \bar{p}_0$ ,  $\bar{u} = \bar{v} - \bar{v}_0$ ,  $\rho = \frac{n}{n_0} - 1$  - отклонения импульса, скорости и относительной плотности соответственно от их невозмущенных значений.  $B_0$  - внешнее магнитное поле,  $\bar{F} = \bar{E}_c + [\bar{v}_0 \times \mathcal{H}_c]$  - сила, действующая на частицы со стороны полей, возбужденных коллективным неравновесным движением. Далее мы часто будем пользоваться "вращающимися" компонентами векторов

$$V_1 + i V_2 = (V_x + i V_y) e^{i\psi}, \quad V_3 = V_z, \quad \bar{V} - \text{произвольный вектор}$$

$$\psi = k_0 z + \omega_0 t; \quad k_0 = \gamma_{||} k, \quad \omega_0 = \gamma_{||} \omega$$

В отличие от обычных компонент будем помечать их греческими индексами  $\mu, \nu$ , например,

$$V_{\mu} = T_{\mu i} V_i \quad T = \begin{pmatrix} \cos \psi & -\sin \psi & 0 \\ \sin \psi & \cos \psi & 0 \\ 0 & 0 & 1 \end{pmatrix}$$

Воспользовавшись тем, что поперечные координаты  $x, y$  не входят явно в полученные уравнения, проведем по ним преобразование Фурье. В результате решение уравнений (6) можно записать в виде:

$$\pi_{\mu} = \sum_s e^{-i\phi + i\lambda_s t} f_{\mu s} \int \frac{dk}{2\pi} \alpha_s(k, t) e^{ikz}$$

$$\dot{\alpha}_s = f_{sv}^{-1} e^{-i\lambda_s t} \int dz e^{i\phi - ikz} F_{\nu}(z, t) \quad (7)$$

$$\rho(z, t) = e^{-i\phi} \sum_s \frac{f_{3s}}{\gamma_s} \int dt' e^{i\lambda_s t'} \int \frac{dk}{2\pi} ik \alpha_s(k, t') e^{ikz}$$

В последнем соотношении выброшены члены, содержащие интеграл по времени от быстроосциллирующих (с частотой  $\sim \omega_0$ ) величин

$\bar{q}_{\perp} = (q_x, q_y)$  - поперечный волновой вектор.

Здесь  $\phi = \alpha q_{\perp}(z, t)$

$$\lambda_1 = 0; \quad \lambda_2 = \lambda = \sqrt{\varepsilon^2 + B'^2 \theta^2}; \quad \lambda_3 = -\lambda$$

$$2\omega_{1-4}^2 = \lambda^2 + \frac{\omega_e^2 \cos^2 \vartheta}{\gamma_0^2} \pm \sqrt{\left(\lambda^2 + \frac{\omega_e^2 \cos^2 \vartheta}{\gamma_0^2}\right)^2 - 4\lambda^2 \frac{d\vartheta_n}{d\vartheta} \frac{\omega_e^2 \cos^2 \vartheta}{\gamma_0^3}} \quad (\text{II})$$

$$\frac{d\vartheta_n}{d\vartheta} = \frac{\varepsilon(\varepsilon - B'u_0^2)}{\lambda^2} \gamma_0^2$$

Отсюда видно, что существует два типа кулоновских неустойчивостей. I) Одна из них соответствует эффекту отрицательной массы  $\frac{d\vartheta_n}{d\vartheta} < 0$ . Впервые неустойчивость такого типа обсуждалась в [6,7]. Можно понять причину возникновения неустойчивости, принимая во внимание, что образование флуктуаций плотности становится энергетически выгодным, т.к. частицы эффективно притягиваются. В предельных случаях можно получить более простые выражения для инкремента

$$(\text{Im}\omega)^2 = \Lambda^2 = \left| \frac{d\vartheta_n}{d\vartheta} \right| \frac{\omega_e^2 \cos^2 \vartheta}{\gamma_0^3}; \quad \left( \lambda^2 \gg \frac{\omega_e^2}{\gamma_0^2}, \frac{\omega_e^2}{\gamma_0^3} \left| \frac{d\vartheta_n}{d\vartheta} \right| \right) \quad (\text{IIa})$$

Этот случай соответствует усреднению в уравнениях движения по свободным поперечным ("бетатронным") колебаниям с частотами  $\pm \lambda$ , т.е. пренебрежению одночастичными модами  $j=2,3$  ( $\lambda_{2,3} = \pm \lambda$ ). Остается только движение с медленным изменением невозмущенной продольной скорости ( $\lambda_1 = 0$ ). Ленгмюровское движение частиц с отрицательной массой имеет инкремент, совпадающий с (IIa).

В другом предельном случае

$$\Lambda^2 = \frac{1}{\gamma_0^2} \left| \frac{d\vartheta_n}{d\vartheta} \right| \lambda^2 \left( 1 - \frac{\gamma_0^2 \lambda^2}{\omega_e^2 \cos^2 \vartheta} \right); \quad \left( \frac{\omega_e^2 \cos^2 \vartheta}{\gamma_0^2} \gg \lambda^2, \lambda^2 \left| \frac{d\vartheta_n}{d\vartheta} \right| \frac{1}{\gamma_0^2} \right)$$

В условиях одночастичной устойчивости  $\frac{d\vartheta_n}{d\vartheta} \leq \gamma_0^2 v^2$ , причем выход на предельное значение совершается при  $\varepsilon \leq B'u_0^2$ .

2. Другая возможность возникновения комплексных корней в (II) соответствует отрицательности подкоренного выражения. Необходимым условием здесь является  $\varepsilon < 0$ , в отличие от неустойчивости отрицательной массы. В этом случае инкремент

$$\Lambda = \frac{1}{2\sqrt{2}} \left[ \lambda^2 \left( \frac{1}{\gamma_0^2} \frac{d\vartheta_n}{d\vartheta} - 1 \right) - \left( \frac{\lambda}{\gamma_0} \sqrt{\frac{d\vartheta_n}{d\vartheta}} - \frac{\omega_e |\cos \vartheta|}{\sqrt{\gamma_0}} \right)^2 \right]^{1/2} \quad (\text{I2})$$

При оптимальном выборе параметров  $\frac{\omega_e}{\sqrt{\gamma_0}} = \frac{\lambda}{\gamma_0} \sqrt{\frac{d\vartheta_n}{d\vartheta}} = \frac{\bar{\omega}_e}{\sqrt{\gamma_0}}$

$$\Lambda(\omega_e = \bar{\omega}_e) = \frac{\bar{\omega}_e}{2\sqrt{2}\gamma_0} \left\{ 1 - \frac{d\vartheta_n}{d\vartheta} - (1 - |\cos \vartheta|)^2 \right\}^{1/2} \leq \frac{\bar{\omega}_e}{2\sqrt{2}\gamma_0} \quad (\text{I2a})$$

Из вида инкремента можно заключить, что неустойчивость связана с резонансом между свободным поперечным движением (которое при достаточно слабом поле ондулятора есть ларморовское вращение) и ленгмюровскими колебаниями:  $|\varepsilon| = \omega_e - B' \approx \omega_e$ . Видно, что неустойчивость возникает именно в суммовом резонансе, что соответствует общим представлениям теории колебаний. Результат (I2) можно получить и несколько иным способом, отправляясь от уравнений плазменной гидродинамики, которые в отсутствие ондулятора имеют нетривиальные решения, соответствующие ленгмюровским колебаниям и ларморовскому вращению. Включение ондулятора приводит к тому, что амплитуды этих гармоник становятся зависящими от времени. Инкремент может быть получен путем выделения резонансных слагаемых с помощью метода усреднения.

#### Радиационная неустойчивость

Дисперсионное уравнение, полученное, как описано выше, из (7) и (9), выглядит следующим образом:

$$1 = \frac{n}{2} \frac{\omega_e^2 k_0 u_0^2}{\gamma_0 \omega(\omega - \Delta)} f_{j35} \frac{1}{\omega + \lambda_3} f_{j\mu}^{-1} (1 + \nu_0 \cos \vartheta) L_\mu + (\text{кулоновская часть}) \quad (\text{I3})$$

где  $\Delta = \omega_1 - n\omega_0$ ,  $L_\mu$  - вектор с компонентами  $\sim I$ , зависящими от угла  $\vartheta$ , кулоновский член есть правая часть (10), которая пренебрежимо мала при  $\frac{k_0 u_0^2}{\omega} \gg 1$

В противоположном случае радиационное слагаемое в (I3) несущественно, и спектр колебаний плотности даже при малых расстройках  $\Delta$  определяется кулоновским взаимодействием. Пренебрегая кулоновским слагаемым, получаем уравнение 5-й степени на  $\omega(\Delta)$

$$\begin{aligned}
 (\omega - \Delta)\omega^2(\omega^2 - \lambda^2) &= \frac{n\omega_e^2 k_0 u_0}{2\gamma_0} (1 + v_n \cos \vartheta) \left\{ -\frac{\partial \lambda^2}{\partial \omega} \frac{d\vartheta_n}{d\vartheta} (\cos^2 \vartheta \bar{C}_n^2 + \bar{S}_n^2) + \right. \\
 &+ H' \omega [\bar{C}_n \bar{S}_n (1 + \cos^2 \vartheta) - J_n \bar{S}_n u_0 \sin \vartheta] + (\omega^2 - \frac{\lambda^2}{\gamma_0^2} \frac{d\vartheta_n}{d\vartheta}) \times \\
 &\times \left. \left[ \frac{u_0 \cos \vartheta}{2} (J_{n-1}^2 + J_{n+1}^2) - J_n \bar{C}_n \sin \vartheta \cos \vartheta \right] \right\} \quad (14)
 \end{aligned}$$

$$\begin{aligned}
 \text{здесь } \bar{C}_n &= \frac{1}{2} (J_{n+1}(\gamma_0 q_\perp) + J_{n-1}(\gamma_0 q_\perp)) \\
 \bar{S}_n &= \frac{1}{2} (J_{n+1}(\gamma_0 q_\perp) - J_{n-1}(\gamma_0 q_\perp))
 \end{aligned}$$

$$J_n = J_n(\gamma_0 q_\perp) \quad \left| \frac{n\omega_e^2 k_0 u_0^2}{\gamma_0} \right|^{1/2} \ll \lambda, \quad \lambda \frac{1}{\gamma_0^2} \frac{d\vartheta_n}{d\vartheta}$$

В том случае, если можно получить  $\omega(\Delta)$  в явном виде, решив кубическое уравнение. При  $\Delta \ll \omega(0)$

$$\omega(\Delta) = \omega(0) + \frac{\Delta^2}{3} + \frac{\Delta^3}{9\omega(0)} + O\left(\frac{\Delta^3}{\omega(0)^2}\right), \quad \text{а } \omega(0) - \text{ произвольная ветвь решения уравнения } \omega^3(0) = \beta$$

$$\beta = \frac{n\omega_e^2 k_0 u_0}{2\gamma_0^3} \frac{d\vartheta_n}{d\vartheta} (1 + v_n \cos \vartheta) \left\{ \theta [\cos^2 \vartheta \bar{C}_n^2 + \bar{S}_n^2] + \frac{u_0 \cos \vartheta}{2} (J_{n-1}^2 + J_{n+1}^2) - J_n \bar{C}_n \sin \vartheta \cos \vartheta \right\}$$

В обратном предельном случае вид зависимости  $\omega(\Delta)$  сохраняется, а

$$\beta = \frac{n\omega_e^2 k_0 u_0}{2\gamma_0} (1 + v_n \cos \vartheta) \left\{ \frac{u_0 \cos \vartheta}{2} (J_{n-1}^2 + J_{n+1}^2) - J_n \bar{C}_n \sin \vartheta \cos \vartheta \right\}$$

Видно, что инкремент  $\Lambda_n = \text{Im}(\omega_n)$  по сравнению с  $\Lambda_1$  имеет дополнительный множитель  $\sim n^{1/2} |u_0 \sin \vartheta|^{2(n-1)/3}$ . В некоторых работах, посвященных ЛСЭ (например, [5], приводятся выражения для радиационного инкремента при  $n=1$ ,  $\vartheta=0$ , и малой плазменной частоте (наш I предельный случай). При этих предположениях результаты согласуются.

Сделаем несколько замечаний о пределах применимости полученных результатов.

I. Поперечный размер пучка  $a$  считался бесконечным. Условие  $q_\perp a \gg 1$  необходимо для справедливости этого допущения. Кроме того, нужно потребовать, чтобы дифракционный размер волнового пакета, составленного из мод с волновыми векторами  $\sim q$ , не превышал поперечника пучка, а также, чтобы центр пакета за время нарастания не успел подойти к границе:

$$\sqrt{\frac{c}{q}} \ll a, \quad \ell_g \ll \frac{a}{\sin \vartheta}$$

(16)

$$\text{Здесь } \ell_g = \frac{v_{gr}}{\Lambda}; \quad v_{gr} = \frac{d\omega}{dk}$$

Для кулоновских мод  $v_{gr} \sim \frac{\omega_e}{k} \sim \frac{\Lambda}{k}$  и последние неравенства автоматически выполняются, как только  $ka \gg 1$ . Для радиационной неустойчивости  $v_{gr} \sim c$  и мы получаем из (16) дополнительные требования:

$$\frac{c}{\Lambda a} \ll ka; \quad \frac{c}{\Lambda a} \ll \frac{1}{\sin \vartheta} \quad (\text{в случае } q_\perp \leq |k|).$$

Как показано в [5], невыполнение этих условий не отменяет неустойчивость, но изменяет поведение инкрементов, которые в таком случае определяются не плотностью, а полным током частиц.

2. Пренебрежение тепловым разбросом скоростей справедливо, если "тепловое" время прохождения расстояния порядка длины волны превышает время нарастания:  $k \Delta v_n < \Lambda$  (иначе:  $\frac{1}{k} = \lambda > \gamma_0 = \frac{a v_n}{\Lambda}$  - длина волны колебаний должна быть больше дебаевского радиуса). Для некоторой частицы с начальными условиями отличными от равновесных, отклонение продольной скорости от равновесной в ондуляторе содержит, в общем случае, как постоянную, так и осциллирующую (с частотой  $\lambda$  - см. выше) составляющие. Если  $\lambda \gg \Lambda$ , то осциллирующая составляющая незначительна, т.к. не приводит к среднему по времени отклонению частиц. Постоянная же составляющая за счет правильного ввода пучка в ондулятор может быть сделана такой, что соответствующая ей продольная температура не изменится сильно по сравнению с той же величиной до участка ввода, т.е. останется весьма малой ( $T_n \sim \frac{T_1^2}{W}$ ,  $W$  - энергия частиц пучка в лаб. системе,  $T_1$  - поперечная температура). Если же  $\lambda \leq \Lambda$ , то в продольной скорости становится существенной осциллирующая компонента  $\Delta v_n^{osc} \approx \theta_0 \Delta v_\perp \cos(\lambda t + \varphi)$ ; продольная температура в этом случае  $T_n \sim \theta_0^2 T_\perp$ .

## 5. Некоторые численные оценки

При нерелятивистском движении пучка радиационная неустойчивость будет заметно ослаблена, т.к. условие  $q_a < 1$  не может быть выполнено. Максимально достижимый инкремент неустойчивости отрицательной массы в  $\beta = \frac{v}{c}$  раз меньше, чем та же величина для циклотронной неустойчивости. Минимальная инкрементная длина циклотронной неустойчивости

$$l_c \approx \frac{3V_{II}}{\omega_e} \approx \frac{10^9 \beta}{\omega_e} \text{ см}$$

$$\beta = \frac{v_{II}}{c} \quad ; \quad \omega_e \text{ - в обратных секундах.}$$

В релятивистском случае существенной становится радиационная неустойчивость. Для её минимальной инкрементной длины в лаб. системе можно получить оценку

$$l_{rad} \approx \left( \frac{r}{\Omega_e^2 \alpha} \right)^{1/3} \quad ; \quad \omega_e^2 = \frac{\Omega_e^2}{\gamma}$$

Для неустойчивости отрицательной массы можно получить усиление инкремента за счет параметра  $\frac{d\beta}{d\Omega}$ , который можно сделать большим (тогда  $\lambda^2 \frac{d\beta}{d\Omega} \sim \frac{B^2}{r^2}$ ,  $\lambda^2 \ll \omega_e^2 \ll \lambda^2 \frac{d\beta}{d\Omega}$ ).

Инкрементная длина в этом случае

$$l_{-r} \sim \left( \frac{r^{5/4}}{\Omega_e \beta} \right)^{1/2}$$

Для циклотронной неустойчивости

$$l_c \sim \frac{r^2}{\gamma_e} \gg l_{-r}$$

Для сгустка длиной 1 м, поперечным сечением  $10^{-2} \text{ м}^2$ , содержащего  $10^{12}$  частиц, движущегося в ондуляторе с шагом 1 см, радиационная инкрементная длина  $l_{rad} \approx 0.18 \text{ см}$ .

Если магнитное поле в ондуляторе  $B = 20 \text{ кГс}$ , то можно получить неустойчивость отрицательной массы с инкрементной длиной

$$l_{-r} \approx 0.1 r^{5/4} \text{ см}$$

Для пучка с плотностью в лаб. системе  $n_0 \sim 10^9 \text{ см}^{-3}$  в магнитном поле  $B = 2 \text{ кГс}$   $l_{-r} \sim 5 r^{5/4} \text{ см}$ .

Из полученных результатов видно, что в широком диапазоне условий может быть эффективно реализована та или иная ондуляторная неустойчивость.

Авторы благодарят А.М.Кондратенко, Е.Л.Салдина, В.В.Пархомчука, Б.Н.Брейзмана за обсуждения и критические замечания.

## ЛИТЕРАТУРА

1. Г.И.Будкер "Атомная энергия", т.22, в.5 (1967).
2. Г.И.Будкер, А.Н.Скринский. УФН, т.124, в.4, 561 (1978).
3. Я.С.Дербенёв. Препринт ИЯФ СО АН 80-185; Доклад на УП Всесоюзном совещании по ускорителям заряженных частиц. Дубна, 1980 г.
4. N.M. Coll, W.A. McMillan. *Phys. Rev.* A17, 300 (1978)
5. А.М.Кондратенко, Е.Л.Салдин. Препринт ИЯФ СО АН 79-48.
6. А.А.Коломенский, А.Н.Лебедев "Атомная энергия", т.7, 549 (1959).
7. С.Е. Nielsen, A.M. Sessler, K.R. Symon. *Proc. Inter. Confer. on High Energy Accel.*, CERN (1959) p.239



Работа поступила - 4 марта 1981 г.

---

Ответственный за выпуск - С.Г. Попов  
Подписано к печати 20.3-1981 г. МН 03058  
Усл. 1,0 печ.л., 0,8 учетно-изд.л.  
Тираж 230 экз. Бесплатно  
Заказ № 33.

---

Отпечатано на ротапинтере ИЯФ СО АН СССР